

V-101 一軸拘束によるコンクリートのケミカルプレストレスシングに関する基礎研究

東京大学 正員 國分正胤
 館木正治
 学生員 ○辻幸和

膨脹混和材は我が国においても実用化の段階を迎えて、コンクリートの収縮ひびわれの防止を目的として、屋根スラブ、地下壁、舗装等のコンクリート構造に、またケミカルプレストレスシング^{1,2)}を目的として、コンクリート管その他の一工場製品にも使用され始め、良好な成果が得られつつある。しかしながら、膨脹混和材に関する既往の研究は、コンクリートの収縮ひびわれの防止を目的としたもののがほとんどで、ケミカルプレストレスシングを目的とする研究は比較的少く、特にケミカルプレストレスコンクリート構造の物性についての理論的解明は、ほとんどなされていないのが現状である。

本研究はケミカルプレストレスシングを理論的に解明するための基礎資料を得ることを目的として行った実験結果のうち、一軸拘束によるものを取扱ったものであって、ケミカルプレストレスシングの問題点およびケミカルプレストレスコンクリート部材の強度性状について論じたものである。

1. 使用材料 配合

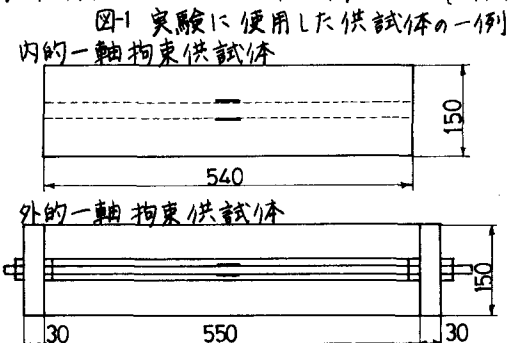
実験に用いた膨脹混和材はカルシウム・セメント・アルミニート系(CSA系)に属する国産品のうち、電気化学工業株式会社製のもので、この膨脹混和材の試験成績は表-1に示すようである。セメントは日本セメント株式会社製の早強ポルトランドセメントを用いた。骨材は細・粗骨材とも富士川産のもので、粗骨材は比重2.66、最大寸法25mm、粗粒率6.78のものを、また細骨材は比重2.62、粗粒率2.91のものを用いた。

大部分の実験に用いた配合は、単位セメント膨脹混和材量を450kg/m³、単位水量を173kg/m³、S/Aを36%とし、膨脹混和材によるセメントの置換率を0%、11%、15%および20%と変化させた。コンクリートのスランプは約7cm、空気量は約1.5%であった。外の一軸拘束の研究にはモルタルも用いたが、その配合はセメント膨脹混和材・細骨材比を1:2、水・セメント膨脹混和材比を45%、膨脅混和材置換率を15%としたもので、フロー値は170mmであった。

2. 試験方法

膨脹混和材によるコンクリートの膨脹をコンクリート中に埋込んだ異形鉄筋などの付着により拘束する場合を、内的一軸拘束と称し、これについて実験した。これに反して、膨脹をPC鋼材の両端板で拘束する場合を外的一軸拘束法と呼ぶ。

表-1 膨脹混和材の試験成績



| Igloss | Insol | SiO ₂ | Al ₂ O ₃ | Fe ₂ O ₃ | CaO | MgO | SO ₃ | freeCaO | Total | 比重 | ブレーン |
|--------|-------|------------------|--------------------------------|--------------------------------|------|-----|-----------------|---------|-------|------|--------------------------|
| 0.9 | 1.4 | 1.4 | 13.1 | 0.6 | 47.8 | 0.5 | 32.2 | 19.4 | 97.9 | 2.93 | 1510 cm ³ /kg |

内の一軸拘束の実験において $15 \times 15 \times 54 \text{ cm}^3$ の梁型供試体を用い、外の一軸拘束の実験において $15 \times 15 \times 55 \text{ cm}$ および $10 \times 10 \times 40 \text{ cm}^3$ の梁型供試体を用いた。図-1に示すようにコンクリート打設前、内の一軸拘束供試体の型枠に所定の鉄筋を配置し、一方、外の一軸拘束供試体のPC鋼棒、シース、端板、ナットを組立て後、型枠内に配置した。材令約20時間において脱枠し、コンクリート表面にコニタクト型歪計用標点を貼り、材令24時間において基長を測定した後、 20°C 水中で養生した。供試体の体積変化は上記のコニタクト型歪計および拘束鉄筋に貼り付けたポリエチレンストレインゲージで測定し、材令14日で達した後水中から取出し、その後濡れ布を用いて養生した。強度試験は材令15日で、内的一軸拘束供試体とも3等分点載荷方法による曲げ試験を行った。

3. 内の一軸拘束による試験結果

内の一軸拘束について拘束鉄筋の径、拘束鉄筋比および軸直角方向鉄筋の有無がケミカルプレストレスに及ぼす影響について実験を行った。ケミカルプレストレスの導入性状の一例を示すと、図-2、図-3のようである。また表-2には曲げひびわれ応力度の実験結果を示している。図-2および図-3から、拘束鉄筋比が大きくなると、コンクリート表面の膨脹量が少く、導入プレストレスが大きくなることが示される。また丸鋼の拘束は異形鉄筋に比べて劣り、導入プレストレスで約半分の値となっている。拘束鉄筋比が等しくとも、拘束鉄筋の数および配置によって、ケミカルプレストレスが非常に異なり、例えば直徑 10 mm 4本を用いた場合に、直徑 19 mm 1本を用いた場合に比べて、約2倍のプレストレスが導入されている。即ち、細い鉄筋を密に配置すれば、導入プレストレス、従って曲げひびわれ強さが大きくなるのである。

曲げひびわれ強さの增加は、ケミカルプレストレスの影響ばかりでなく、コンクリート自体の強度増加も一つの原因であると考えられる。例えば拘束鉄筋として直徑 10 mm 4本を用い、 23 kg/cm^2 のケミカルプレストレスを導入した鉄筋コンクリート梁の曲げひびわれ応力度は著しく大きくなり、同一の鉄筋コンクリート梁で、膨脹混和材を用いないものの曲げひびわれ応力度

図-2 内の一軸拘束によるコンクリート表面の軸直角方向膨脹率

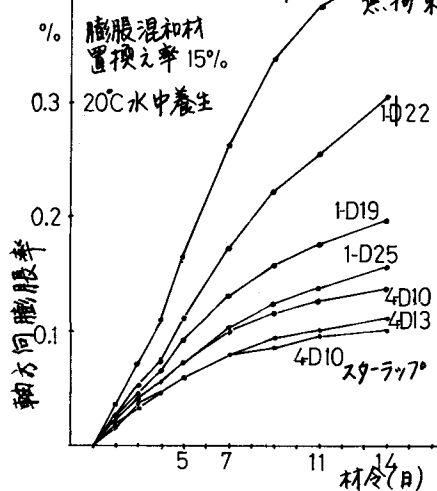


図-3 内の一軸拘束によるケミカルプレストレス

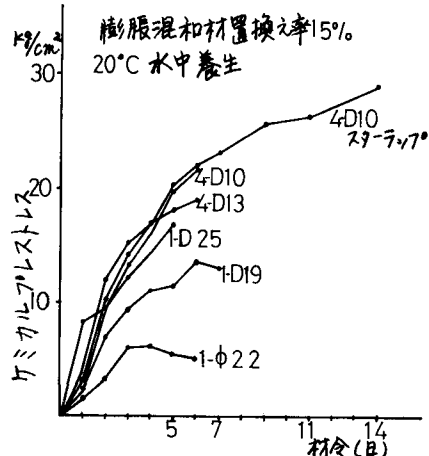


表2 内の一軸拘束供試体の曲げひびわれ応力度

| 配筋方法 | 拘束鉄筋比% | 曲げひびわれ応力度 kg/cm^2 | | | | 比率 % |
|-------------------|--------|--|---|---|---------------------------------------|------|
| | | σ_{II} $\frac{\text{CSA}}{\text{C}+\text{CSA}} = 0$ | σ_{II} $\frac{\text{CSA}}{\text{C}+\text{CSA}} = 11$ | σ_{II} $\frac{\text{CSA}}{\text{C}+\text{CSA}} = 15$ | $\frac{\sigma_{\text{II}}}{\sigma_0}$ | |
| 無 | 0 | 75.6 | 69.3 | 37.6 | 92 | 50 |
| 4-D10 | 1.26 | 74.9 | 99.1 | 110.0 | 132 | 147 |
| 4-D13 | 2.25 | 86.0 | 123.3 | 137.3 | 143 | 160 |
| 1-D19 | 1.26 | 66.7 | 80.0 | 88.0 | 120 | 132 |
| 1-D25 | 2.25 | 71.1 | 90.7 | 93.3 | 127 | 131 |
| 4-D10 Star-Typ | 1.26 | - | - | 140.0 | - | - |
| 1-Φ22 | 1.50 | - | - | 32. | - | - |

にプレストレスを加算したものより、せん断強度が 12 kg/cm^2 大きい値を示したのである。このことは、ケミカルプレストレスによってコンクリート自体の強度も増加したためと思われる。

スター・ラップのように軸直角方向に鉄筋を配置することは、ケミカルプレストレスを有効に利用する場合非常に重要であることも確認され、またスター・ラップを有する場合にて、コンクリート表面と鉄筋の膨脹量が等しくなることを認められた。即ち図-3に示されるように、スター・ラップが有ることにより、ケミカルプレストレスが 23 kg/cm^2 から 29 kg/cm^2 にまで曲げひびわれ応力度が 110 kg/cm^2 から 140 kg/cm^2 に増加したのである。このスター・ラップによる強度の增加は、軸直角方向の膨脹が拘束されて、プレストレスが有効に作用したためと思われる。

ケミカルプレストコンクリート構造の解析と合理化するためには、今後これらの点について検討を重ねる必要がある。

4. 外的一軸拘束による試験結果

図-4に外的一軸拘束方法を用いた場合のケミカルプレストレス、コンクリート自体の曲げ強度および拘束供試体の曲げひびわれ応力度等に及ぼす、拘束鉄筋比の影響の実験結果である。この図から拘束鉄筋比が大きい程、ケミカルプレストレスは大きく、最大値で 47 kg/cm^2 のプレストレスが導入されたことが示されている。コンクリート自体の曲げ強度は、材令14日においてPC鋼棒を取り除き、約24時間後に実験を行った結果であるが $20 \sim 25 \text{ kg/cm}^2$ となり、自由膨脹させた供試体の約2倍とほぼ等しいが、拘束鉄筋比が 0.61% ～ 2.73% に変化した場合でも、ほとんど拘束鉄筋比の影響を受けなかったのである。これより奇異な現象であるが、その原因はPC鋼棒を取り除いて24時間後に試験を行ったことによる。即ち図-5に示すように、この期間のコンクリートの膨脹は著しく、 $640 \sim 870 \times 10^{-6}$ にも達し、化学反応の進行による膨脹量とすくべて考えられる事である。そしてこの過大な膨脹量のために、拘束鉄筋比の影響が緩和され、また強度も小さくなつたのである。なおこの期間における前記の膨脹量と拘束鉄筋比が大きい程大きくなる傾向が認められる。

図-6にはケミカルプレストコンクリートの弾塑性的性状を検討するため、PC鋼棒を取り除いた直後におけるコンクリートの応力度の変化とコンクリートの伸びとから、仮にコンクリートのヤング係数を求めると $44000 \sim 84000 \text{ kg/cm}^2$ となり、著しく小さく、また拘束鉄筋比が大きかったもの程、ヤング係数が大きくなる傾向が示されている。このヤング係数の値、並にPC鋼棒を取り除いた後24時間における膨脹量が過大であることを考慮すると、ケミカルプレストコンクリートには塑性的性状が卓越していることを示すものであり、この点について更に研究を進めてゆきたい。

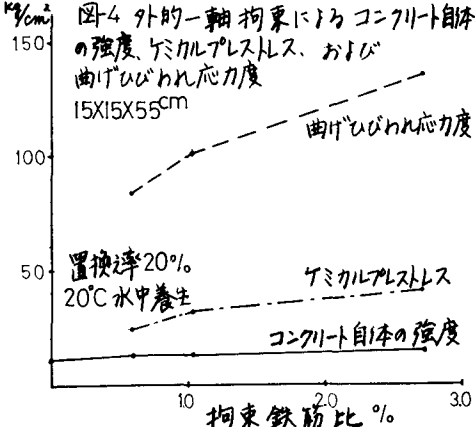


図-5 外的一軸拘束によるコンクリート表面伸び

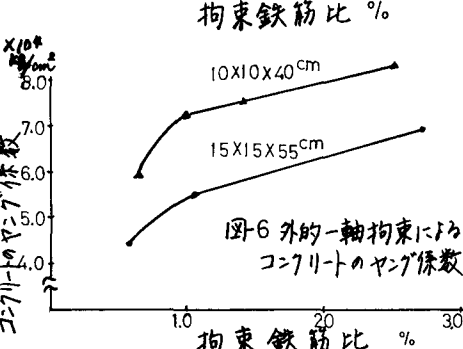
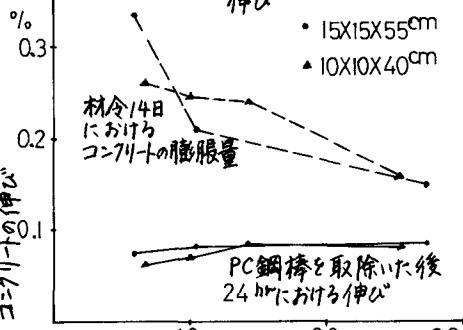


図-6 外的一軸拘束によるコンクリートのヤング係数

なお拘束による曲げひびわれ応力度の増加程度は、拘束供試体の断面寸法によって相違する傾向が示される。

図-7-17 PC鋼棒およびコンクリート表面の膨脹量を各拘束
鉄筋比について図示したもので、既往の研究で報告されている
ように、拘束鉄筋比が大きくなる程、PC鋼棒およびコンクリート
表面の膨脹量が小さくなることが示される。またこの図から、
コンクリート表面の膨脹量は、PC鋼棒の膨脹量に比べて相当に
大きいことが示されるのである。そしてこの現象を更に解明す
るため、拘束鉄筋比および断面の大きさを一定にして、一
軸拘束の長さのみを変化させた場合について3シ
リーズの実験を行った。図-8-1はその一例で、膨脹
混和材の置換率15%のモルタルを使い、一軸
拘束の長さを28~88cmに変化させた場合のコン
クリート表面とPC鋼棒の膨脹量を示している。この
図から、一軸拘束の長さが長くなる程、コンクリート表
面の膨脹量が小さくなると共に、PC鋼棒の膨脹
量が大きくなり、したがて両者の差が小さくなる
ことが明瞭に認められる。

この現象の主原因として、コンクリート供試体が太鼓状にふくらむこと、および端板のそりが考えられるが、本実験では導入プレストレスが約10%と比較的小さいこともあり、各断面における軸直角方向膨脹量、コニクト型歪計ゲージ長を変化させて求めたコンクリート表面の軸方向膨脹量および端板のそり量について入念に検討した結果、これらの影響はほとんど無視できる程度であった。そこで著者らはコンクリート表面とPC鋼図8から図9を作成した。この図から一軸拘束の長さ、この直線と横軸との交点の値が定着部の逆び縁が成立するのも当然であり、コンクリート表面とPび、およびばねにあることを示すものと思わ

前記の事実を考慮すると、外の一軸拘束方法による実験結果を解析する場合、PC鋼棒の膨脹量とコンクリートの膨脹量とが相等しいと仮定することは、きわめて不適当であると思われる。また長さの異なる拘束試体から得られた試験結果を整理する場合には、前記の關係を考慮する必要があると思われる。

参考文献 例えば 1) ACI Committee 223 "Expansive Cement Concrete-Present State of knowledge" ACI Journal August 1970 2) 長瀬他 "拘束を受けた膨脹性セメントコンクリートの基礎的性状" 昭和45年セメント技術年報 1970

